

軽い核における 低エネルギー双極子励起

Y. S., Y. Kanad-En'yo, and H. Morita, arXiv:1902.10962

京都大学
四方 悠貴

共同研究者：延與佳子、森田皓之

Outline

Introduction

- Low-energy dipole(LED)とr-processの関係
- LED励起モードの候補
- Motivation and purpose

Formulation

- Cluster model with generator coordinate method(GCM)
- Dipole operators

Results and analysis

- LED in ^{10}Be
- Analysis for LED states
- vortical mode
- E1 and CD mode

Outline

Introduction

- Low-energy dipole(LED)とr-processの関係
- LED励起モードの候補
- Motivation and purpose

Formulation

- Cluster model with generator coordinate method(GCM)
- Dipole operators

Results and analysis

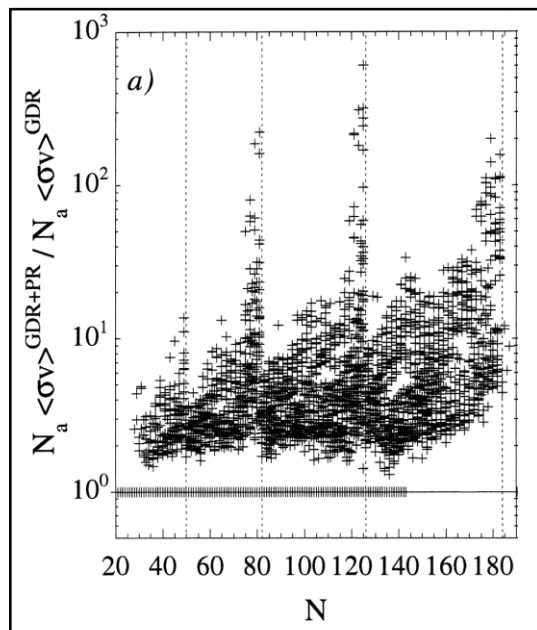
- LED in ^{10}Be
- Analysis for LED states
- vortical mode
- E1 and CD mode

Low-energy dipole (LED)

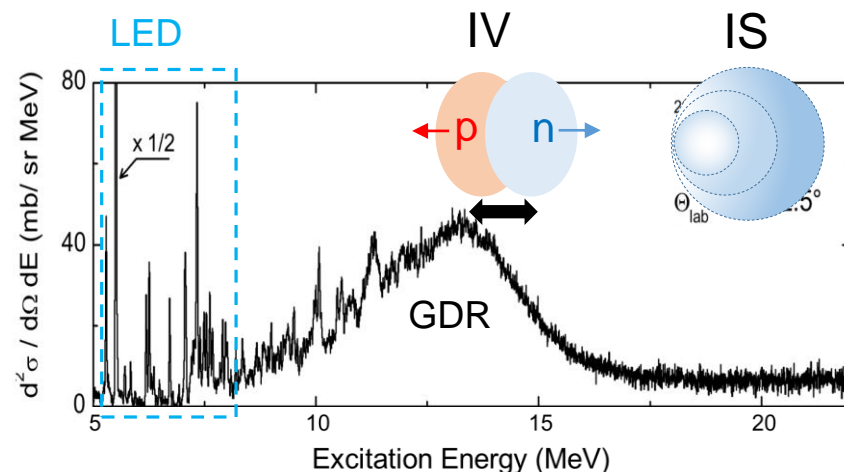
◆ Low-energy dipole (LED)

- 巨大共鳴 (GDR) よりも低いエネルギー領域に強い双極子励起強度の出現
- 中性子過剰核に多くみられるが、一部のN=Z核においても見つかっている。
- 中性子分離エネルギー付近に出現

➡ (n,γ)反応率に大きく影響



S. Goriely, Phys. Lett. B **436** (1998) 10-18



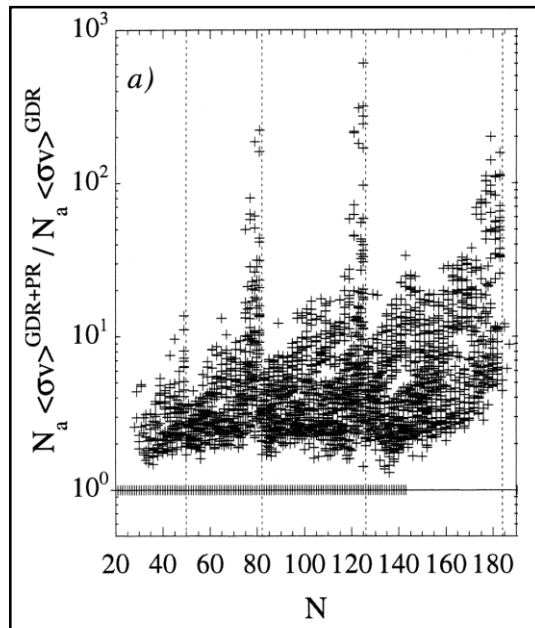
A. Tamii et al., Phys.Rev.Lett. 107 (2011) 062502

Low-energy dipole (LED)

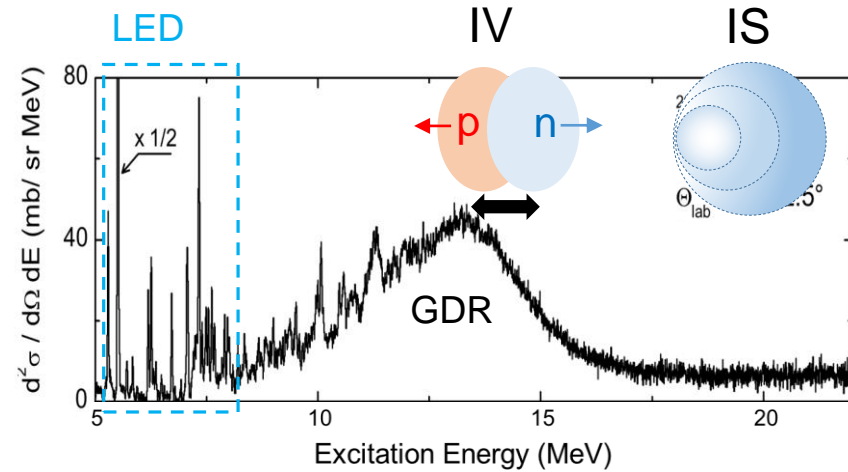
◆ Low-energy dipole (LED)

- 巨大共鳴 (GDR) よりも低いエネルギー領域に強い双極子励起強度の出現
- 中性子過剰核に多くみられるが、一部のN=Z核においても見つかっている。
- 中性子分離エネルギー付近に出現

➡ (n,γ)反応率に大きく影響



S. Goriely, Phys. Lett. B **436** (1998) 10-18



A. Tamii et al., Phys.Rev.Lett. 107 (2011) 062502

多くのインプットは理論予測・外挿に頼っている

LEDの正確な予測が必要



未だに統一的な理解はなされていない

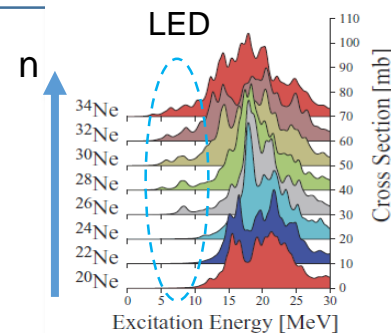
特にその励起モードは活発な議論の的

Features of LED excitations

1. Neutron excess

中性子過剰核では系統的にLED強度が見つかっている。

➡ Neutron excess is one of the keyword !

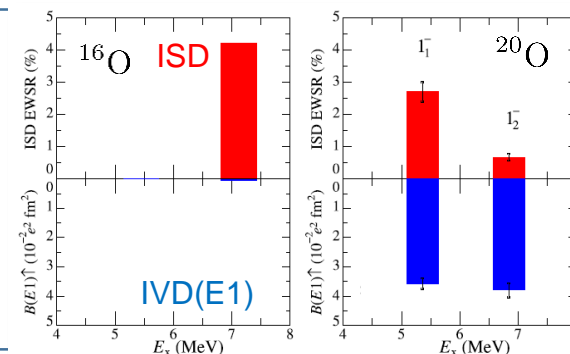


T. Inakura et al., PRC **84**, 021302(2011)

2. N=Z nuclei

中性子過剰核だけでなく、いくつかのN=Z核でもLEDが存在 (特にisoscalar型)

➡ 中性子過剰核とは異なる励起モードの存在を示唆!



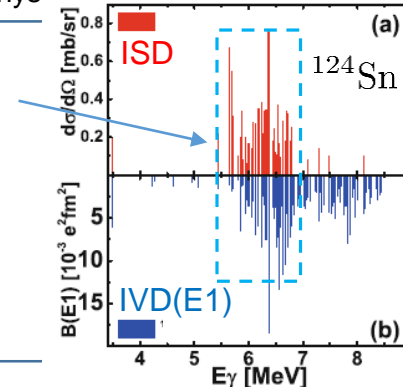
N. Nakatsuka et al., Phys Lett B **768** (2017) 387-392

3. Isospin dependence

低エネルギー領域の中でも、エネルギー領域に応じて異なる特徴を示す。

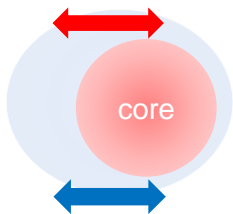
	lower	higher
isoscalar (IS)	strong	weak
isovector (IV)	strong	strong

➡ この二つの領域では励起モードが分離？



J. Endres et al., PRC **85**, 064331 (2012).

“pygmy mode”



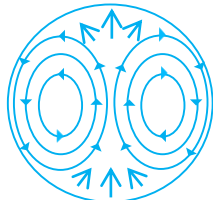
- coreと余剰中性子の逆位相振動.
- coreと余剰中性子の振動によりIV strengthが生じる.
- Core motionによってISD strengthが生じる.

pygmy modeだけではLEDのすべての特徴は説明できない。

K. Ikeda, INS Report JHP-7 (in Japan) (1988).

other candidates

“toroidal mode”



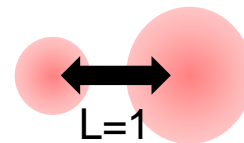
Fluid vortical mode

V. M. Dubovik et al.,
Sov. J. Part. Nucl. **5**, 318 (1974).

- IS・IV strengthsを生じる.
- N=Z nucleiにおいても出現できる.
- 近年では微視的な理論計算によってその存在が予測されている。

A. Repko et al., PRC **87**, 024305 (2013).

“cluster mode”



Excitation by clusters
relative motion.

クラスター相対運動による励起がISD強度をenhanceする

$$M_{\text{ISD}}(\mu) = \frac{5}{3} \left(\frac{C_2}{A} \sum_{i \in C_1} \xi_i^2 - \frac{C_1}{A} \sum_{i \in C_2} \xi_i^2 \right) \mathcal{Y}_{1\mu}(\mathbf{r}) - \frac{C_1 C_2 (C_1 - C_2)}{A^2} r^2 \mathcal{Y}_{1\mu}(\mathbf{r}) + \dots$$

Y. Chiba et al., Phys. Rev. C **93**, 034319 (2016)

◆ motivation

これまでのLEDの研究はほとんどが平均場模型によるもの

- 平均場模型でクラスター励起状態を記述することが得意ではない
- 軽い核ではクラスター励起状態が低エネルギー領域に出現

◆ Our purpose

軽い核におけるLED励起モードをクラスター構造の観点から明らかにする！！

We studied IS and IV LED in ^{10}Be which shows the cluster structure.
($2\alpha + 2\text{valence neutrons}$)

Outline

Introduction

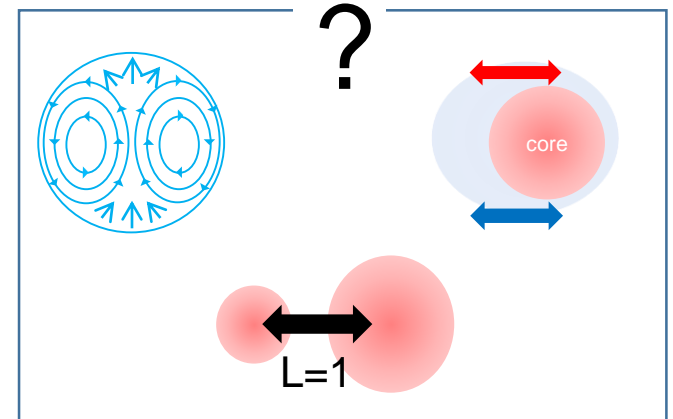
- Low-energy dipole(LED)とr-processの関係
- LED励起モードの候補
- Motivation and purpose

Formulation

- Cluster model with generator coordinate method(GCM)
- Dipole operators

Results and analysis

- LED in ^{10}Be
- Analysis for the LED states
- Vortical mode
- E1 and CD mode



Cluster model + GCM

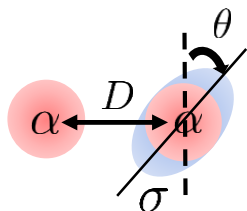
◆ 2 type of cluster model

$\alpha + {}^6\text{He}$ model

$$D = 1, 2, 3, \dots, 8 \text{ fm}$$

$$\theta = 0, \pi/4, \pi/2$$

$$\sigma : (p_{3/2})^2 \text{ or } S_{nn} = 0$$

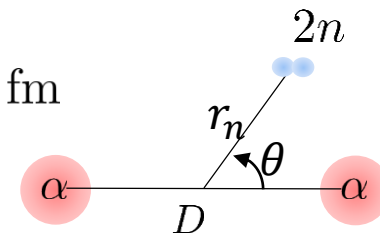


$\alpha + \alpha + 2n$ model

$$r_n = 0.4, 1.4, \dots, 5.4 \text{ fm}$$

$$D = 2, 3, \dots, 6 \text{ fm}$$

$$\theta = 0, \pi/8, \dots, \pi/2$$



single particle w. f. : $\phi_i(\mathbf{S}) = \psi_i(\mathbf{r}, \mathbf{S}) \chi_i \xi_i, \quad \psi_i(\mathbf{r}, \mathbf{S}) = \exp \left[-\nu \left(\mathbf{r} - \frac{\mathbf{S}}{\sqrt{\nu}} \right)^2 \right]$

Cluster w.f. :
$$\begin{cases} \Phi_\alpha(\mathbf{S}_1) = \mathcal{A}[\phi_{n\uparrow}(\mathbf{S}_1) \phi_{n\downarrow}(\mathbf{S}_1) \phi_{p\uparrow}(\mathbf{S}_1) \phi_{p\downarrow}(\mathbf{S}_1)] \\ \Phi_{{}^6\text{He}}(\mathbf{S}_2) = \mathcal{A}[\phi_{n\uparrow}(\mathbf{S}_2) \phi_{n\downarrow}(\mathbf{S}_2) \phi_{p\uparrow}(\mathbf{S}_2) \phi_{p\downarrow}(\mathbf{S}_2) \phi_n^\sigma(\mathbf{S}_2) \phi_n^\sigma(\mathbf{S}_2)] \end{cases}$$

◆ the total wave function of ${}^{10}\text{Be}$

$$\Phi_{{}^{10}\text{Be}}^{J\pi} = \sum_{\beta, K} c_K^J(\beta) \hat{P}_{MK}^J \hat{P}^\pi \Phi_{{}^{10}\text{Be}}(\beta)$$

Cluster model functionをGCMによって重ね合わせることで ${}^{10}\text{Be}$ の状態を求める。

Hamiltonian and dipole operator

◆ Hamiltonian

$$H = -\frac{\hbar^2}{2M} \sum_{i=1}^A \nabla_i^2 - T_G + \sum_{i<j} (V_{ij}^{\text{central}} + V_{ij}^{\text{Coulomb}} + V_{ij}^{LS})$$

central force :Volkov No.2

$$b = h = 0.125, m = 0.60$$

A. B. Volkov, Nucl. Phys. **74**, 33 (1965)

spin-orbit interaction : G3RS

$$u_I = -u_{II} = u_{ls} = 1600 \text{ MeV}$$

R. Tamagaki, Prog. Theor. Phys. **39**, 91 (1968)

◆ Dipole operators

- $E1$ operator

$$M_{E1}(\mu) = \int d^3r \rho_{IV}(\vec{r}) r Y_{1\mu}(\hat{r}) \quad \left(\rho_{IV}(r) = \frac{N}{A} \rho_p(r) - \frac{Z}{A} \rho_n(r) \right)$$

- Compressive dipole (CD) operator corresponding to ISD operator

$$M_{CD}(\mu) = \frac{-1}{10\sqrt{2}c} \int d^3r \nabla \cdot \vec{j}_{nucl} r^3 Y_{1\mu} \quad \longleftrightarrow \quad M_{ISD}(\mu) = \int d^3r \rho(\vec{r}) r^3 Y_{1\mu}(\hat{r})$$

- Toroidal dipole (TD) operator • • • measure of vorticity.

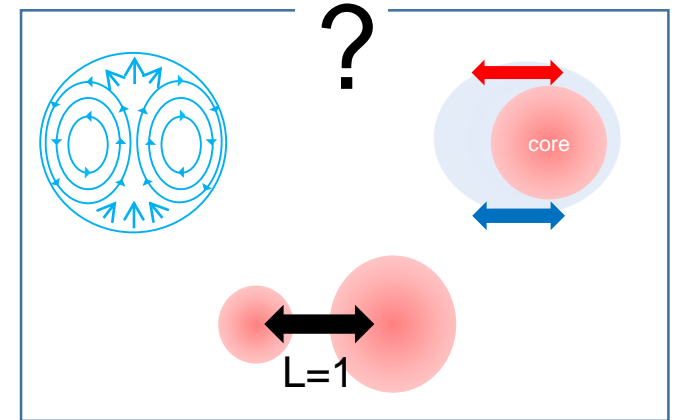
$$M_{TD}(\mu) = \frac{-1}{10\sqrt{2}c} \int d\vec{r} (\hat{\nabla} \times \vec{j}_{nucl}(\vec{r})) \cdot r^3 \vec{Y}_{11\mu}(\hat{r})$$

J. Kvasil et al., Phys. Rev. C **84**, 034303 (2011).

Outline

Introduction

- Low-energy dipole(LED)とr-processの関係
- LED励起モードの候補
- Motivation and purpose

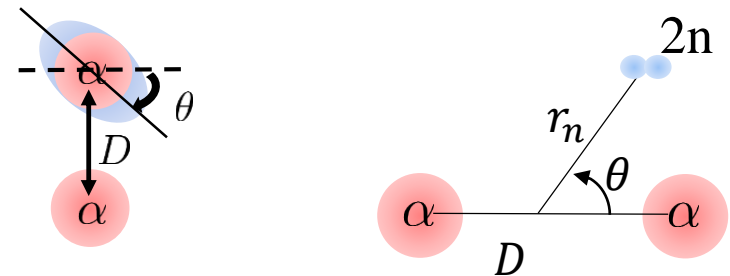


Formulation

- Cluster model with generator coordinate method(GCM)
- Dipole operators

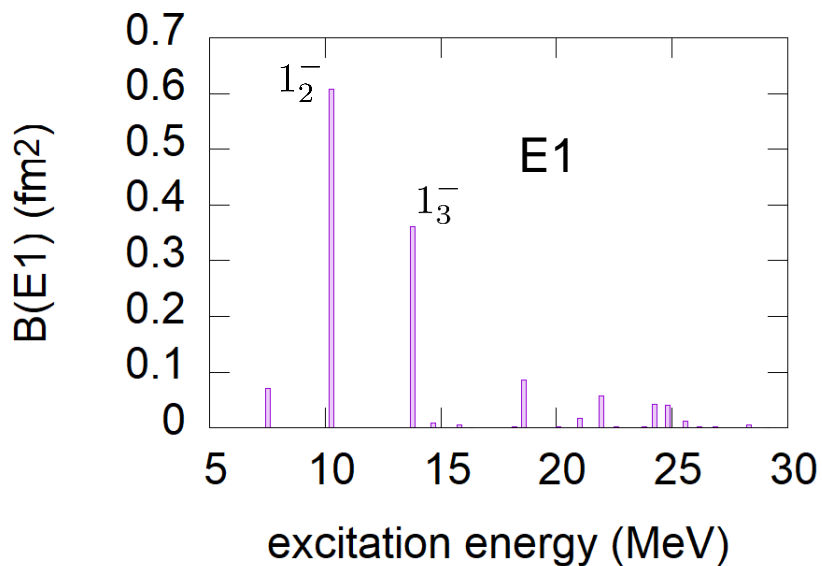
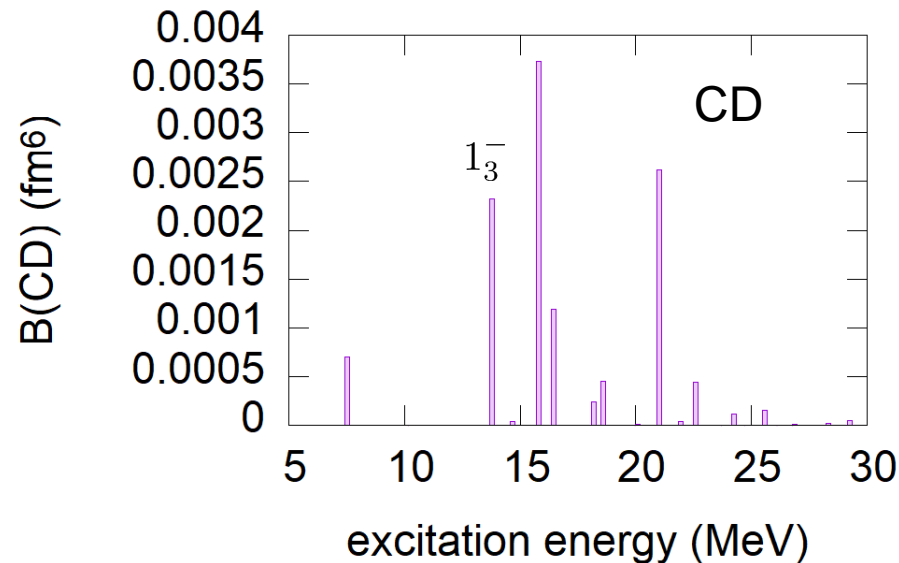
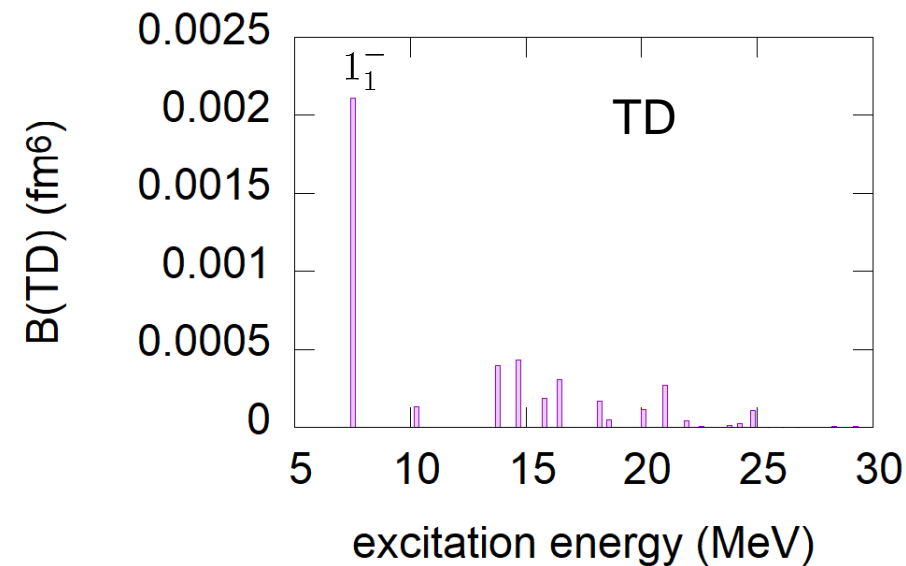
Results and analysis

- LED in ^{10}Be
- Analysis for LED states
- Toroidal mode
- E1 and CD mode



Y. S., Y. Kanad-En'yo, and H. Morita, arXiv:1902.10962

Transition strengths in ^{10}Be

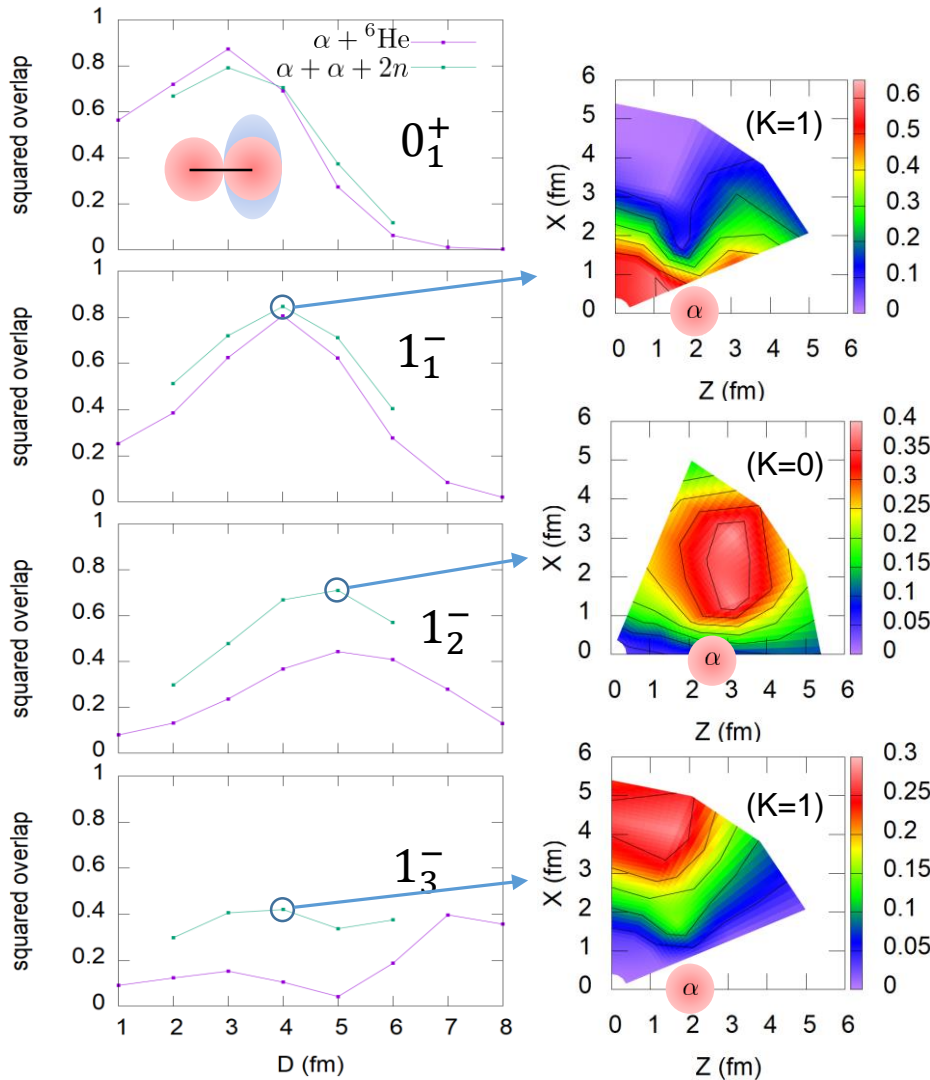


In low energy region of $E < 15$ MeV
CD : about 10 % of sum rule
E1 : about 33 % of TRK sum

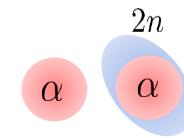
1_1^- : strong TD
 1_2^- : strong E1
 1_3^- : strong E1 and CD
about 15~20 MeV : strong CD

Structures of LED states

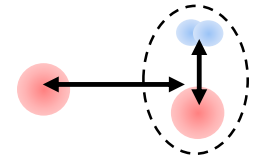
◆ α - α 距離Dのsubspaceとのoverlapと2n distribution



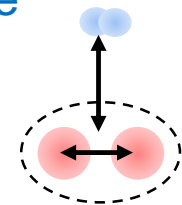
1_1^- : 2n clusterは α clusterの近くに分布し、傾いた ${}^6\text{He}$ clusterを形成。



1_2^- : α cluster励起で特徴づけられる。2n clusterも α わずかに発達
→ 3-body dynamics

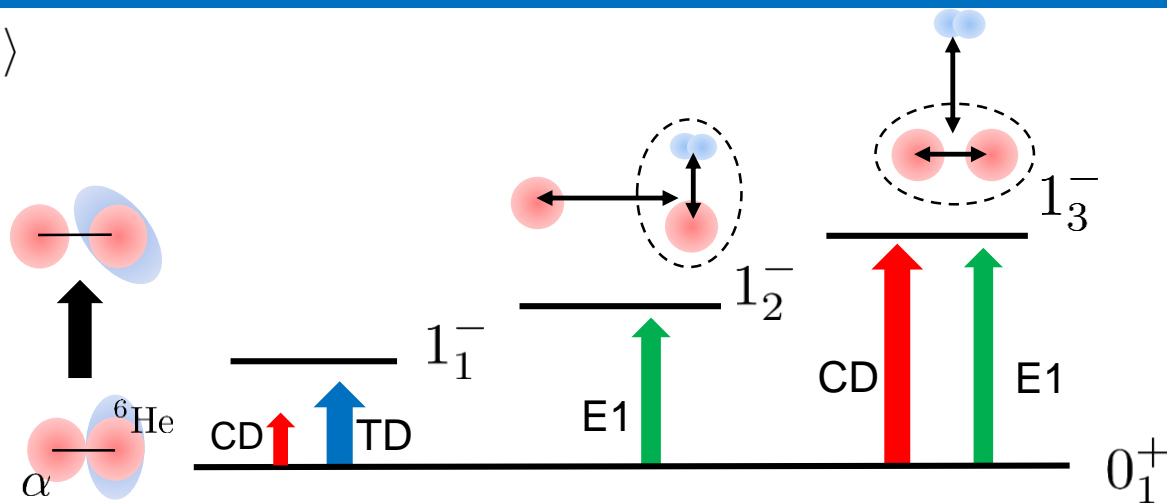
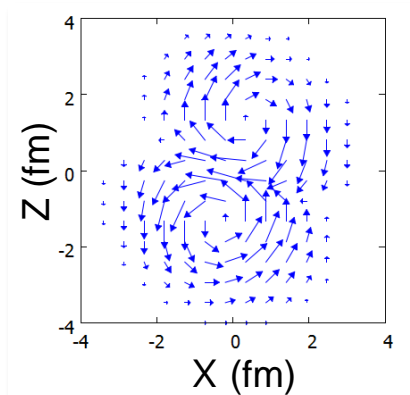


1_3^- : 2n clusterが非常に発達した状態。
→ 2n expansion mode



Excitation modes and Origin of strengths

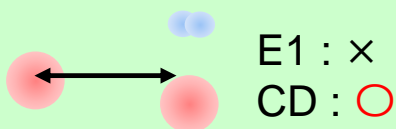
$$\delta j(\mathbf{r}) = \langle 1_{\text{int}}^- | \mathbf{j}_{\text{nucl}}(\mathbf{r}) | 0_{\text{int}}^+ \rangle$$



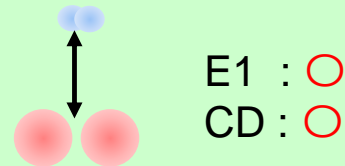
- ✓ 変形した⁶He clusterのvibrationによってvortical modeが生じる.
- ✓ わずかにCD強度を持つ.
- ✓ K=1 dominant.

E1・CD強度には二つのmodeが大きく寄与

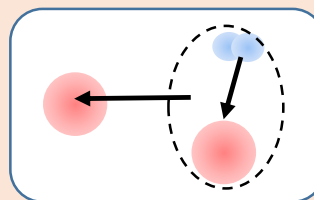
α 発達モード



2n発達モード

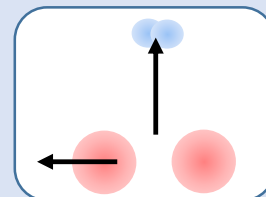


1_2^- : 2つのmodeが逆位相で寄与



CD強度は打ち消し合い
強いE1遷移のみ生じる

1_3^- : 2つのmodeが同位相で寄与



E1・CD共に
強い遷移が生じる

Summary and perspectives

まとめ

- クラスタモデルを用いて ^{10}Be におけるLED励起モードを研究。
- In ^{10}Be , various LED strengths are found.
- voritcal mode appears. This mode is caused by rotation of deformed ^6He .
- 2n cluster expansion enhances E1 strengths.
- ^{10}Be における3体クラスタダイナミクスによるE1・CD強度への寄与を解明した

今後の課題

- クラスタ構造を仮定しないAMD法を用いた解析
→より正確なLED強度の再現（予測）に向けて
- O同位体への適用
- 系統的な計算・強度予測→R-process元素合成の見積もり